

(12) 任意母線縁境界をもつ円筒網目シェル屋根の全体座屈

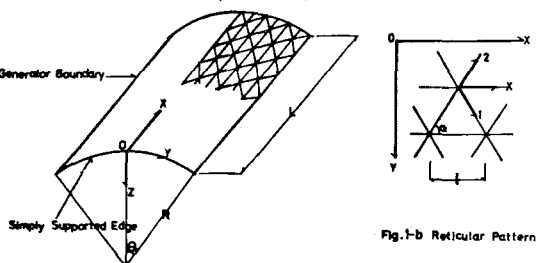
— 等方性網目の場合 —

都立大大学院 森川 敦

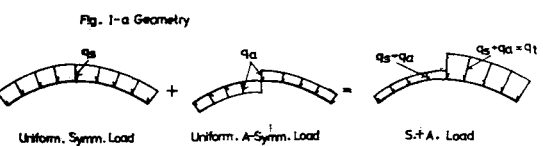
S-1 序 H型、円管断面等をもつ单一材を使用して建設する单層剛接合網目シェル屋根は面外曲げ剛性が非常に小さく、従ってその全体座屈に対する安全性を検討する必要がある。しかし、円筒網目シェル屋根の全体座屈に関しては、まだ解明されていない点が多い様である。三角形網目が母線方向部材と斜材により構成された円筒網目シェル屋根の全体座屈性状は次の四項目、(1). 網目の組合方、(2). シェル形状、(3). 周辺支持条件(特に母線縁支持条件)、(4). 荷重分布の影響を持て強く受けたと思われる。本研究は、これらの諸点が全体座屈性状に及ぼす影響を連続体置換の立場に基づき理論的に解明することを目的とする。本報告では、網目が等方性の場合について、座屈モード形状、周辺が妻側縁辺で単純支持、母線縁辺でピン、単純支持、自由、荷重は一様外圧のもとでの所謂「完全系」の初期座屈あるいは中央母線に関する強制称介岐座屈性状を幾何学的非線形解析により数值解析的に解明し、さらに、母線縁単純支持の場合について、円筒方向に非対称荷重分布あるいは座屈波形に比例する初期曲面不整を考慮し、「不完全系」の座屈性状についても検討を行なう。

S-2 非線形基礎式

1. 解析仮定 解析の対象となる円筒網目シェル屋根をFig. 1-aに示し、その仮定のもとに非線形基礎式を導く。
 ① 円筒曲面上を覆う網目形状の展開平面はFig. 1-bに示され、且つ一単位の網目を一つの構造全體のそれに比し極めて小さいとする。



② 斜材、母線方向部材は各々一定断面材とし、さらには①の仮定より連続化して扱う。
 ③ 部材の歪エネルギーは軸歪エネルギー及円筒曲面接平面内にある軸に関する曲げ歪エネルギーについて評価し、他の歪エネルギーは無視する。
 ④ 軸歪は法線方向変位: w の微分に関するのみの非線形を採用する。曲げ歪は初等理論が成立する。



同変位: w の微分に関するのみの非線形を採用する。曲げ歪は初等理論が成立する。
 ⑤ 部材の歪と応力の間にはHooke's Lawが成立する。
 ⑥ 荷重は法線方向に作用し、その分布は母線方向に一定、円筒方向は非対称性を考慮してFig. 1-cに示す如きとする。
 ⑦ 初期曲面不整は法線方向に以下の如き考慮し、その量を、非線形解析により得られる变形の比倒倍で表わす。

Fig. 1-c Load Distribution for Circumferential Direction

2. 基礎式の誘導

a. 歪一変位式 母線方向と一定角度: α を成す部材即ち斜材1の軸歪度: ε_1 はFig. 2を参考して式(1)で与えられる。

$$\varepsilon_1 = \frac{dD_1}{ds_1} - \frac{w}{R_1} + \frac{d\alpha}{ds_1} \frac{dw}{ds_1} + \frac{1}{2} \left(\frac{dw^2}{ds_1} \right) \quad (1)$$

$$+ t_1 \frac{d^2 w}{ds_1^2} \quad (1)$$

$$= = = \quad D_1: \text{斜材1の軸方向変位}, R_1: \text{斜材1の曲率半径} \left(= \frac{R}{\sin \alpha} \right), w: \text{法線方向変位}, \alpha: \text{初期曲面不整量}, ds_1: \text{斜材1の軸方向線素}, t_1: \text{中立軸からの仮想距離}, \text{仮定} (1) \text{より } Z_0 = cw \quad (c: \text{一定}), \text{さらには}$$

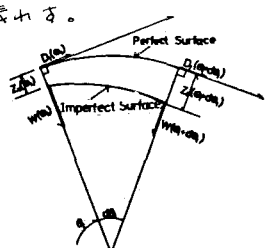


Fig. 2 Geometrical Imperfection

$$D_i = u \cos \alpha + v \sin \alpha, \frac{d}{dx} = \cos \alpha \frac{\partial}{\partial x} + \sin \alpha \frac{\partial}{\partial y} \text{ を用いて, } \varepsilon_i \text{ を } x-y \text{ 座標系にて表すと式(2)を得る。}$$

$$\varepsilon_i = \cos^2 \alpha \left(\frac{\partial u}{\partial x} + \frac{1}{2} (1+2c) \left(\frac{\partial u}{\partial x} \right)^2 \right) + \sin \alpha \cos \alpha \left\{ \frac{\partial u}{\partial x} + \frac{\partial v}{\partial x} + (1+2c) \frac{\partial x}{\partial x} \frac{\partial w}{\partial y} \right\} + \sin^2 \alpha \left(\frac{\partial v}{\partial y} - \frac{w}{R} + \frac{1}{2} (1+2c) \left(\frac{\partial w}{\partial y} \right)^2 \right)$$

$$= t_i \left(\cos^2 \alpha \frac{\partial^2 w}{\partial x^2} + \sin^2 \alpha \frac{\partial^2 w}{\partial x \partial y} + \sin^2 \alpha \frac{\partial^2 w}{\partial y^2} \right) \quad (2), \quad t_i = u, v \text{ は母線, 円弧方向変位である。}$$

筋材2, 母線方向部材の ε_2 , ε_3 は式(2)にて, $\alpha \rightarrow -\alpha$, o を代入して得られる。

b. 基礎式 荷重は法線方向に作用することと及式(2)を用いて, 箱の Total Potential Energy を組み立ててその停留条件となり u, v, w の変位表示による釣合式を得, さらに応力関数: ψ を導入し, u, v を消去し, 無次元化を施して以下の非線形基礎式(3)を得る。

$$\text{適合条件式: } F''' + \left(\frac{1}{\sin^2 \alpha} - 2 \cot^2 \alpha \right) \beta^2 F'''' + (\cot^2 \alpha + \frac{1}{\sin^2 \alpha}) \beta^3 F''' = -u_n \beta^2 W'' + \beta^2 (1+2c) (W''^2 - W'' W'') \quad (3-a)$$

$$\text{法線方向釣合式: } \frac{3}{32} \left\{ W'''' + 6 \cot^2 \alpha \beta^2 W'''' + (\cot^2 \alpha + \frac{3}{\sin^2 \alpha}) \beta^4 W''' \right\} = u_n \beta^2 F'' + \lambda_s (y) + \beta^2 (1+c) (W'' F'' + W'' H'' - 2W' F') \quad (3-b)$$

$$= 0, \quad W = \frac{w}{t_h}, \quad F = \frac{F}{E_n t_h^3}, \quad u_n = \frac{B^2}{R t_h}, \quad \beta = \frac{B}{L}, \quad B = 2 R \theta_0, \quad t_h = \sqrt{\frac{32}{3Y}} i \sin^2 \alpha, \quad i: \text{筋材の断面2次半径},$$

$$E_n = \frac{\sqrt{3}}{2\sqrt{2}} \cdot \sqrt{Y} \cdot \frac{A}{i \sin^2 \alpha} E, \quad Y = \frac{\bar{A}_x}{2\bar{A}}, \quad S = \frac{\bar{I}_x}{2\bar{I}}, \quad (\bar{A}, \bar{A}_x), (\bar{I}, \bar{I}_x): \text{筋材, 母線方向部材の単位幅当たりの断面積, 断面2次モーメント}, \quad E: 部材ヤング係数, \lambda_s(y) = \lambda_{s0} + \lambda_a G(y), \quad \lambda_{s0} = \frac{8s}{E_n} \left(\frac{B}{t_h} \right)^4, \quad \lambda_a = \frac{8a}{E_n} \left(\frac{B}{t_h} \right)^4, \quad G(y) = \begin{cases} 1 & y \geq 0 \\ -1 & y \leq 0 \end{cases}, \quad s = \frac{\partial}{\partial y}, \quad Y = \frac{y}{B}, \quad I = \frac{\partial}{\partial x}, \quad x = \frac{X}{L}$$

c. 境界条件式 各方向部材の断面力, 变位は F, W によって式(4)で与えられる。

$$N_2 = \frac{E_n t_h^3}{Z B^2} \left(\frac{B^2}{\sin^2 \alpha} F'' + \frac{B}{\cos \alpha \sin \alpha F'} \right), \quad N_x = \frac{E_n t_h^3}{B^2} \left(-\cot^2 \alpha \beta^2 F'' + F' \right), \quad M_2 = \frac{3 E_n t_h^4}{64 B^3 \sin^2 \alpha} \left(\beta^2 \cos^2 \alpha W'' + \beta \sin \alpha W' + \sin^2 \alpha W \right) \quad (4)$$

$$M_x = \frac{3 E_n t_h^3}{32 B^2 \sin^2 \alpha} \cdot \beta^2 W'', \quad T_J^1 = \frac{t_h^2}{B^2} \left(F'' - \cot^2 \alpha \beta^2 F'' - \frac{1}{2} \beta^2 (1+2c) W''^2 \right), \quad V^r = \frac{t_h^2}{B^2} \left((\cot^2 \alpha + \frac{1}{\sin^2 \alpha}) \beta^2 F'' - \cot^2 \alpha F' + u_n W - \frac{1}{2} (1+2c) W''^2 \right) \quad (4)$$

$$T_J^1 + \beta^2 V^r = -\frac{t_h^2}{B^2} \beta^2 \left[\frac{Y}{\sin^2 \alpha \cos \alpha} F' + (1+2c) W'' W' \right], \quad \text{但し, } N, M: \text{単位幅当たりの軸力, 曲げモーメント}, \quad T_J^1 = \frac{u}{L}, \quad V^r = \frac{w}{B}$$

境界条件式は各部材の境界辺に作用する軸力を考慮して導く。まず, 垂直線辺で単純支持の場合には $W = (M_1 + M_2) \cos^2 \alpha + M_2 = (N_1 + N_2) \cos^2 \alpha + N_x = V = 0$: at $X = 0, 1$ であるから式(4)より $W = W'' = F'' = 0$, at $X = 0, 1$ —— (5)となる。母線線辺境界条件式 ($at Y = \pm \frac{1}{2}$) において, 単純支持, 自由に ψ にて表される式 (6-a, b, c) にて表す。b. の場合は $W = (M_1 + M_2) \sin^2 \alpha = T_J^1 = V = 0$ であるから式(4)より, $W = W'' = F'' - \cot^2 \alpha \beta^2 F'' = \int_0^{\pm \frac{1}{2}} \left\{ (\cot^2 \alpha + \frac{1}{\sin^2 \alpha}) \beta^2 F'' - \cot^2 \alpha F' + u_n W - (\frac{1}{2} + c) W''^2 \right\} dy - \int_0^{\pm \frac{1}{2}} \left[\int_0^t \frac{1}{2} \left\{ F''' - \cot^2 \alpha \beta^2 F'' - (\frac{1}{2} + c) \beta^2 (W''^2) \right\} dt \right] dy = 0$ —— (6-a) となる。尚, 式(6-a)より式(4)は中央円弧に關する対称性を考慮して導いた。単純支持の場合は, $W = (M_1 + M_2) \sin^2 \alpha = T_J^1 = (N_1 + N_2) \sin^2 \alpha = 0$ であるから結局, $W = W'' = F'' = 0$ —— (6-b) となる。自由線辺の場合は, $(M_1 + M_2) \sin^2 \alpha = 2 \frac{(M_1 - M_2)}{\partial X} \cdot \sin \alpha \cos \alpha + \frac{\partial (M_1 + M_2)}{\partial Y} \sin^2 \alpha = N_1 = N_2 = 0$ となり, $W'' + \cot^2 \alpha \beta^2 W'' = W'' + 5 \cot^2 \alpha \beta^2 W'' = F'' = 0$ —— (6-c) となる。

§-3 近似解法

垂側線辺で単純支持 (式(5)), 母線線辺で種々の支持条件 (式(6)) と周辺境界条件式のまとめ, 非線形基礎式(3)の近似解法を以下に述べる。

1. 円弧方向連立非線形常微分方程式 垂側線辺で単純支持条件式(5)を満足し, 且つ中央円弧に關する対称性を考慮して, W, F, V を式(4)で与える。

$$W = \sum f_m(y) \sin m \pi x = \sum (f_{ms}(y) + f_{ma}(y)) \sin m \pi x, \quad F = \sum g_m(y) \sin m \pi x = \sum (g_{ms}(y) + g_{ma}(y)) \sin m \pi x \quad (7)$$

ここで, $m = 1, 3, 5, \dots, f_m(y), g_m(y)$ は円弧方向の未知変位, 応力関数で示す s, a は各々中央母線に關する対称, 逆対称を意味する。式(4)と式(3)を代入し, Kantorovich 法を適用し, $x = 0, 1$ にて 0 および 1 での範囲で積分し, さらに中央母線に關する対称, 逆対称成分を分離すると式(8), (9)を得る。

$$\text{対称成分: } \Delta_{1m} g_{ms} = u_n \beta^2 m^2 \pi^2 f_{ms} + 2 \beta^2 \pi^2 (1+2c) \sum_{i,j} \sum_{l,p} \left\{ ij (f_{is} f_{js} + f_{ip} f_{jp}) P_{ijlm} + i^2 (f_{is} f_{js} + f_{ip} f_{jp}) Q_{ijlp} \right\} = \text{重ね式(7)}$$

$$\Delta_{2m} f_{ms} = -\mu_0 \beta^2 m^2 \pi^2 g_{ms} + \frac{4}{m\pi} \lambda_8 - 2\beta^2(1+c) \pi^2 \sum_j \left[\{ i^2 (f_{is} g_{js} + f_{ia} g_{ja}) + j^2 (f_{is} g_{js} + f_{ia} g_{ja}) \} g_{ijm} + 2ij(f_{is} g_{js} + f_{ia} g_{ja}) P_{ijm} \right] = \Phi_{ms}(y) \quad (8)$$

逆対称成分: $\Delta_{im} g_{ma} = \mu_0 \beta^2 m^2 \pi^2 f_{ma} + 2\beta^2 \pi^2 (1+c) \sum_j \left\{ 2ij(f_{is} f_{js} + f_{ia} f_{ja}) g_{ijm} \right\} = \Phi_{ma}(y)$

$$\Delta_{2m} f_{ma} = -\mu_0 \beta^2 m^2 \pi^2 g_{ma} + \frac{4}{m\pi} \lambda_a G(y) - 2\beta^2 \pi^2 (1+c) \sum_j \left[\{ i^2 (f_{is} g_{ja} + f_{ia} g_{js}) + j^2 (f_{is} g_{ja} + f_{ia} g_{js}) \} g_{ijm} + 2ij(f_{is} g_{ja} + f_{ia} g_{js}) P_{ijm} \right] = \Phi_{ma}(y) \quad (9)$$

$$= i=m, i, j=1, 3, 5, \dots, \Delta_{im} = \cdots -\beta^2 m^2 \pi^2 \left(\frac{1}{\sin^2 \alpha \cos^2 \alpha} - 2 \cot^2 \alpha \right)^{1/2} + \beta^4 m^4 \pi^4 \left(\cot^4 \alpha + \frac{1}{\sin^4 \alpha} \right)$$

$$\Delta_{2m} = \frac{3}{32} \left\{ \cdots - 6 \cot^2 \alpha \beta^2 m^2 \pi^2 + \beta^4 m^4 \pi^4 \left(\cot^4 \alpha + \frac{1}{\sin^4 \alpha} \right) \right\}, \quad P_{ijm} = \int_0^1 \cos i \pi x \cos j \pi x \sin m \pi x dx = \frac{1}{2\pi} \left(\frac{1}{m+i+j} + \frac{1}{m-i-j} + \frac{1}{m-i+j} + \frac{1}{m+i-j} \right)$$

又、母線境界条件式も y の関数で表わすことが出来、例えば $\pi/2$ の場合を示すと、式(6-a), (7) および

$$\text{対称成分: } f_{ms} = f_{ms}'' = g_{ms}'' + \cot^2 \alpha \beta^2 m^2 \pi^2 g_{ms} = -(\cot^2 \alpha + \frac{1}{\sin^2 \alpha}) \beta^2 m^2 \pi^2 \int_0^{\frac{1}{2}} g_{ms} dy - \cot^2 \alpha g_{ms}(\frac{1}{2}) + \mu_0 \int_0^{\frac{1}{2}} f_{ms} dy - (1+2c) \sum_i \sum_j g_{ijm} \int_0^{\frac{1}{2}} (f_{is} f_{js} + f_{ia} f_{ja}) dy = 0$$

$$\text{逆対称成分: } f_{ma} = f_{ma}'' = g_{ma}'' + \cot^2 \alpha \beta^2 m^2 \pi^2 g_{ma} = -(\cot^2 \alpha + \frac{1}{\sin^2 \alpha}) \beta^2 m^2 \pi^2 \int_0^{\frac{1}{2}} g_{ma} dy - \cot^2 \alpha g_{ma}(\frac{1}{2}) - 2g_{ma}(\frac{1}{2}) + \mu_0 \int_0^{\frac{1}{2}} f_{ma} dy - 2(1+2c) \sum_i \sum_j g_{ijm} \int_0^{\frac{1}{2}} f_{is} f_{js} dy + \frac{1}{\beta^2 m^2 \pi^2} g_{ma}''(0) - \frac{1}{\sin^2 \alpha} g_{ma}(0) - \frac{2}{m^2} (1+2c) \sum_i \sum_j ij P_{ijm} f_{ia}(0) f_{js}(0) - \frac{2}{m} (1+2c) \sum_i \sum_j j P_{ijm} f_{ia}(0) f_{js}(0) = 0 \quad (10)$$

尚、式(10)の式4式は非線形項を母線方向に Fourier 級数で展開してある。結局 F, W は関する非線形偏微分方程式(8)は、 $f_{ms}(y), g_{ms}(y), f_{ma}(y), g_{ma}(y)$ に関する導出非線形常微分方程式に変換されたことになる。

2. 連立非線形連立常微分方程式の近似解法 片方の方法によって式(8), (9)を任意境界条件ともとて解く。式(8), (9)は $f_{is}, g_{is}, f_{ia}, g_{ia}$ ($i=1, 3, 5, \dots$) に関する連立非線形方程式であるが、今式(8), (9)の右辺を各々 $\Phi_{ms}(y), \Phi_{ms}(y), \Phi_{ma}(y), \Phi_{ma}(y)$ として恰も強制項の如く扱うとすれば、式(8), (9)は母線方向展開を各自の各自独立した $g_{ms}, f_{ms}, g_{ma}, f_{ma}$ に関する並列の線形常微分方程式と見做すことが出来る。とすれば、解は各自について余解: h , 特解: P の和で表わすことが出来る。即ち,

$$g_{ms} = g_{msh} + g_{msp}, \quad f_{ms} = f_{msh} + f_{msp}, \quad g_{ma} = g_{mah} + g_{map}, \quad f_{ma} = f_{mah} + f_{map} \quad (11)$$

a. 余解表示 $\Delta_{im}(g_{msh}, g_{mha}) = 0, \Delta_{2m}(f_{msh}, f_{mha}) = 0$ の特性根の性質は題目19で $X=1: \alpha, \beta, \gamma, \delta$ は y , π 变化し、従って余解の形も変わること。 $=$ では $8 \cos^2 \alpha > 1, 5$ の場合にて $\pi/2$ 余解が飛ぶ。 $g_{msh} = C_{msh} \sin \lambda_{2m} y \sinh \lambda_{1m} y + C_{2m} \cos \lambda_{2m} y \cosh \lambda_{1m} y, \quad g_{mha} = C_{mha} \cos \lambda_{2m} y \sinh \lambda_{1m} y + C_{2ma} \sin \lambda_{2m} y \cosh \lambda_{1m} y, \quad f_{msh} = \sum_p D_{psh} \sinh \lambda_{2m} y, \quad f_{mha} = \sum_p D_{ph} \sinh \lambda_{2m} y$ ————— (12), $=$ では $C_{psh}, C_{ph}, D_{psh}, D_{ph}$ は未定定数, $p=1, 2, \dots, \lambda_{2m}^{1m} = \frac{P_m \pi}{2 \sin \alpha} \sqrt{2 \cos^2 \alpha + (2 \cos \alpha - \frac{1}{\cos^2 \alpha})}, \lambda_{2m}^{3m} = \frac{P_m \pi}{\sin \alpha} \sqrt{3 \cos^2 \alpha + 8 \cos^4 \alpha - 5}, \sinh = \sinh, \cosh = \cosh$

b. 特解表示 領域 $|y| \leq \frac{1}{2}$ にて特解 g_{msp}, f_{msp} を Fourier Cosine 級数で、又 g_{map}, f_{map} を Fourier Sine 級数で展開できることをとす。即ち、 $g_{msp} = \sum_{ks} S_{ksm} \cos ksy, \quad f_{msp} = \sum_{ks} T_{ksm} \cos ksy, \quad g_{map} = \sum_{ka} S_{kam} \sin kay, \quad f_{map} = \sum_{ka} T_{kam} \sin kay$ ————— (13) $=$ では, $k_s=0, 2, 4, 6, \dots, k_a=2, 4, 6, \dots$ 同様に $\Phi_{ms}, \Phi_{ms}, \Phi_{ma}, \Phi_{ma}$ を Fourier 級数展開可能とすると、 $\Phi_{ms} = \sum_{ks} P_{ksm} \cos ksy, \quad \Phi_{ms} = \sum_{ks} E_{ksm} \cos ksy, \quad \Phi_{ma} = \sum_{ka} P_{kam} \sin kay, \quad \Phi_{ma} = \sum_{ka} E_{kam} \sin kay$ ————— (14) $P_{ksm}, E_{ksm}, P_{kam}, E_{kam}$ が式(45)と一致する。

$$(P_{ksm}, E_{ksm}) = \begin{cases} 4 \int_0^{\frac{1}{2}} (\Phi_{ms}, \Phi_{ms}) \cos ksy dy : k_s \geq 2 \\ 2 \int_0^{\frac{1}{2}} (\Phi_{ms}, \Phi_{ms}) dy : k_s = 0 \end{cases} \quad (P_{kam}, E_{kam}) = 4 \int_0^{\frac{1}{2}} (\Phi_{ma}, \Phi_{ma}) \sin kay dy \quad (15)$$

尚、式(15)の積分は数值計算により可解解析的で求めることは出来ない。式(8), (14)を式(8), (9)に代入し、係数比較を行ふと、 $S_{ksm} \pi^4 \left\{ k_s^2 + k_s^2 m^2 \beta^2 \left(\frac{1}{\sin^2 \alpha} - 2 \cot^2 \alpha \right) + m^4 \beta^4 \left(\cot^4 \alpha + \frac{1}{\sin^4 \alpha} \right) \right\} = P_{ksm}$,

$$t_{ram} \frac{3}{32} \pi^4 \left\{ k_s^4 + k_s^2 m^2 \beta^2 \cot^2 \alpha + m^4 \beta^4 \left(\cot^4 \alpha + \frac{\gamma}{\sin^4 \alpha} \right) \right\} = \Sigma_{kam}, \quad \Sigma_{kam} \pi^4 \left\{ k_a^4 + k_a^2 m^2 \beta^2 \left(\frac{\gamma}{\sin^2 \alpha} - \cot^2 \alpha \right) + m^4 \beta^4 \left(\cot^4 \alpha + \frac{\gamma}{\sin^4 \alpha} \right) \right\} = \Sigma_{ram}, \quad t_{ram} \frac{3}{32} \pi^4 \left\{ k_a^4 + k_a^2 m^2 \beta^2 \cot^2 \alpha + m^4 \beta^4 \left(\cot^4 \alpha + \frac{\gamma}{\sin^4 \alpha} \right) \right\} = \Sigma_{kam} \quad \rightarrow (16)$$

c. 数値計算法 結局、母線縁境界条件式（例えば式(40)）及特解式(46)は D_{rms} , D_{pms} , C_{rms} , C_{pms} , t_{rms} , t_{ram} , Σ_{kam} , Σ_{ram} , Λ_S , Λ_a ($p=1, 2, m=1, 3, 5, \dots$, $k_s=0, 2, 4, \dots$, $k_a=2, 4, 6, \dots$)=関する連立代数方程式で表わされており。これを Newton-Raphson 法を適用し逐次解を求める。

3. 等方性組目の場合の解法 $\gamma=\varsigma=0.5$, $\alpha=60^\circ$ の場合、即ち各方向部材が同一で、且つ正三角形に組むと、基礎式(3)は等方性円筒殻の基礎式である Donnell 式（但し $\beta \neq 1$ の $\frac{1}{3}$ ）に一致し、二通り、等方性円筒組目組目シエルの全体座屈問題は等方性円筒殻の座屈問題に等価であるといえる。 $\gamma=\varsigma=0.5$, $\alpha=60^\circ$ の場合、特性根は重根をもち、二のとき用いる余関数形は前項まで述べた解法に従えば式(12)と異ならないであるが、二二では以下の方法により。等方性組目の場合でも式(12)の余関数形を用いても解析可能となるよう工夫する。微小往復数: η とし、式(8), (9)を式(17), (18)に变形する。

$$\Delta_{1m} g_{ms} = E_{ms} + 2\beta^2 m^2 \pi^2 \eta g_{ms}, \quad \frac{3}{32} \Delta_{2m} f_{ms} = E_{ms} - \frac{3}{32} \beta^2 m^2 \pi^2 2\eta f_{ms} \quad (17)$$

$$\Delta_{1m} g_{ma} = E_{ma} + 2\beta^2 m^2 \pi^2 \eta g_{ma}, \quad \frac{3}{32} \Delta_{2m} f_{ma} = E_{ma} - \frac{3}{32} \beta^2 m^2 \pi^2 2\eta f_{ma} \quad (18)$$

ここで、 $\Delta_{1m} = \cdots - 2\beta^2 m^2 \pi^2 (1-\eta)^2 + \beta^4 m^4 \pi^4$, $\Delta_{2m} = \cdots - 2\beta^2 m^2 \pi^2 (1+\eta)^2 + \beta^4 m^4 \pi^4$, 従って、 $\eta > 0$ のとき式(12)の余関数形が使えることになる。但し、式(12)に於ける $\lambda_{1m} = \frac{\sqrt{2}}{2} \beta m \pi \sqrt{2-\eta}$, $\lambda_{2m} = \frac{\sqrt{2}}{2} \beta m \pi \sqrt{\eta}$, $\xi_{1m} = \beta m \pi \sqrt{1+\eta \pm \sqrt{2\eta+1}}$ である。

[§-4 数値解析結果] §-3 で示した近似解法に基いて、組目が等方性 ($\gamma=\varsigma=0.5$, $\alpha=60^\circ$), 曲面形状パラメータ $\beta=0.5 \sim 1.0$, $M_h=100 \sim 300$, 母線縁境界条件がゼン, 単純支持, 自由の範囲内で完全系（一様外圧及初期曲面不整なし即ち $\Lambda_a=0$ や $C=0$ ）の座屈性状（材料座屈本数 λ は中央母線に關する逆打称分歧座屈）を数値解析的に解明し、さらに、母線縁単純支持につけては、前述した荷重あるいは初期曲面不整を考慮して非線形解析を行ひ、不完全系の座屈性状も検討する。尚、計算精度を確めた上で、計算項数 m , k_s, k_a は母線縁境界条件がゼン, 単純支持のとき, $m=2$ 項, $k_s=k_a=4$ 項, 自由のとき $m=3$, $k_s=k_a=5$ 項を選択し、又微小往復数: η は $\eta=0.005$ として計算を行つて。

1. 古典座屈値

TABLE 1 Λ_{cro}

幾何学的非線形解析より得られる座屈値と一様外圧下に於ける開(closed)円筒組目シエルの座屈値、所謂「古典座屈値」との比率にて表わす。 $\gamma=\varsigma=0.5$, $\alpha=60^\circ$, $C=0$ のとき式(9)より得られる古典座屈式は座側端部で単純支持とするとき式(9)で与えられる。

$$\Lambda_{cro} = \frac{E_{cro}(\beta)}{E_h} = \mu_n^3 \left[\frac{1}{(\theta_0 n)^2} \left\{ \frac{1}{(\theta_0 n)^2 + 1} \right\}^2 + \frac{3}{32} \frac{1}{\mu_n^2} (\theta_0 n)^2 \left\{ 1 + \left(\frac{\beta \pi}{\theta_0 n} \right)^2 \right\}^2 \right] \min \quad (9)$$

ここで、 Λ_{cro} は無次元古典座屈値で式(9)の $\theta_0 n$ (θ_0 :半開角, n :周方向波数) に關する最小値を意味する。Table 1 に示す様に式(9)を $\beta=0.5 \sim 1.0$, $M_h=100 \sim 300$ の範囲で Λ_{cro} を直接計算し、換算して二式(9)は近似式(20)で表わせることが分かる。

$$\log_{10} \Lambda_{cro} = \{ 1.4 + 10^2 (-2.24/\beta^2 + 9.8/\beta - 3.54) \} \log_{10} M_h + (0.168/\beta^2 - 0.897/\beta + 0.879) \quad (20)$$

2. 完全系の座屈解析 $\Lambda_a=0$ 且つ $C=0$ の所謂完全系に一様外圧及中央母線に關する逆打称分歧座屈解析を $\beta=1.2/1.5, 0.5$, $M_h=100 \sim 300 @ 25$, 母線縁境界条件ゼン, 単純支持, 自由のもとに行なう、結果を表すと次の様にである。

M_h	$\beta=1.0$			$\beta=1.15$			$\beta=0.5$		
	Eq.(19)	(20)	(19)	(20)	(19)	(20)	(19)	(20)	
100	1072.	1073.	681.7	682.2	499.6	500.0			
125	1476.	1479.	943.5	945.2	693.2	694.3			
150	1919.	1923.	1231.	1234.	906.3	907.9			
175	2397.	2401.	1543.	1545.	1137.	1139.			
200	2909.	2910.	1877.	1878.	1395.	1386.			
225	3451.	3448.	2331.	2331.	1648.	1648.			
250	4023.	4013.	2605.	2602.	1926.	1925.			
275	4622.	4604.	2997.	2991.	2217.	2214.			
300	5248.	5219.	3407.	3397.	2522.	2517.			

a. ピン支持の場合

Fig. 3 に母線縫ビン支持の計算結果を示す。非線形解析より得られる座屈値を λ_{cr} で表すと、Fig. 3 より、 $\lambda_{cr}/\lambda_{cro}$ は β も 1 より大きく、($\beta=1, 100 \leq \lambda_n \leq 150$)、($\beta=1/1.5, 175 \leq \lambda_n \leq 275$)、($\beta=0.5, 100 \leq \lambda_n \leq 300$) で λ_{cr} が座屈が先行し、その座屈モードの半波形等 N は 3、又、($\beta=1, 175 \leq \lambda_n \leq 275$) では $N=4$ が分歧座屈が先行し、二つの各範囲に於いて各々 $\lambda_{cr}/\lambda_{cro}$ は定数 k_1, k_2, k_3 を用いて近似的に $k_1/\lambda_n + k_2 + k_3 \lambda_n$ で表せられる。尚、Fig. 3-d は $\beta=1$ の場合の中央内筋の座屈モードを示す。これが $\beta=1, \lambda_n=300$ のとき、分歧座屈点直後に新しい $N=5$ の増分モード(途中点線で示す)が生じてあり、シェル中央部の局部的座屈の可能性も充分考えらる。

b. 単純支持の場合

結果を Fig. 4 に示す。

$\lambda_{cr}/\lambda_{cro}$ は 1 以下で λ_n が 150 のときは β が小さくなるにつれて増える傾向を示す。
 $\beta=1, \lambda_n=225$ のとき分歧座屈 ($N=3$)、他の場合は分歧座屈 ($N=2$) が先行する。($\beta=1, 100 \leq \lambda_n \leq 200$)、($\beta=1/1.5, 150 \leq \lambda_n \leq 300$) の範囲では $\lambda_{cr}/\lambda_{cro}$ (分歧座屈値)/ λ_{cro} を $k_1/\lambda_n + k_2$ で近似できる。 $\beta=0.5$ のとき、 $\lambda_{cr}/\lambda_{cro}$ は $\lambda_n=200$ で最大値 0.736、 $\lambda_n=100$ のとき最小値 0.590 であるから、 $100 \leq \lambda_n \leq 300$ でほとんど変化しない。 $\beta=1$ のとき分歧座屈点前にて変位が急増する部分が存在し、その後、 $\lambda_{cro} - W_{av}$ (平均変位) は近似的に直線関係を保ち、分歧点は二の直線上で発生する。

c. 自由境界の場合

結果を Fig. 5 に示す。

$\lambda_{cr}/\lambda_{cro} - \lambda_n, \beta$ 及座屈様式は $\beta=0.5$ 且つ $\lambda_n < 150$ を除いて単純支持の場合とほぼ一致する。Fig. 4-d と Fig. 5-d と比較すると、座屈モード波形は全く母線

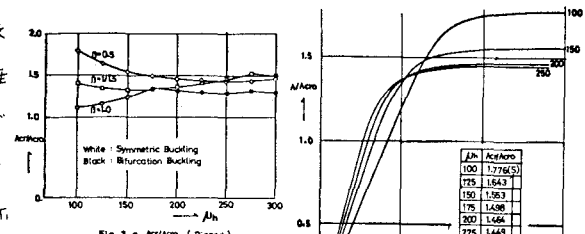


Fig. 3-a $\lambda_{cr}/\lambda_{cro}$

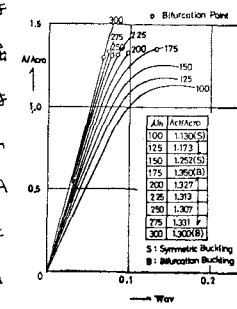


Fig. 3-b $\lambda_{cro}-W_{av}$

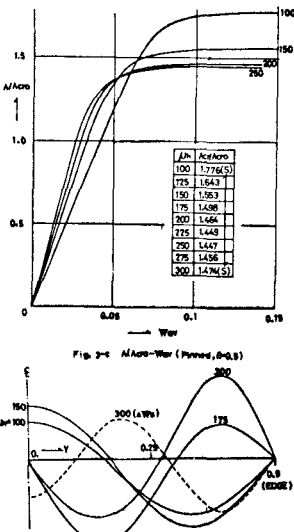


Fig. 3-c $\lambda_{cro}-W_{av}$

Fig. 3-d Buckling Mode (Pinned, β=1)

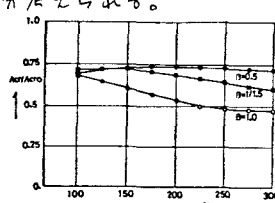


Fig. 4-a $\lambda_{cr}/\lambda_{cro}$

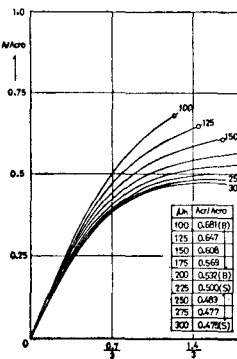


Fig. 4-b $\lambda_{cro}-W_{av}$

Fig. 4-c $\lambda_{cro}-W_{av}$

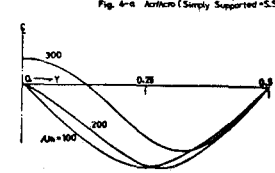


Fig. 4-d Buckling Mode (S.S., β=1)

Fig. 4-d Buckling Mode (S.S., β=1)

Fig. 4-d Buckling Mode (S.S., β=0.5)

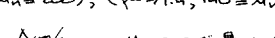


Fig. 5-a $\lambda_{cr}/\lambda_{cro}$

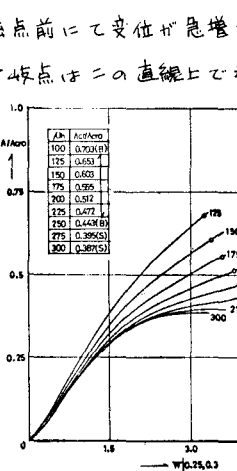


Fig. 5-b $\lambda_{cro}-W_{av}$

Fig. 5-b $\lambda_{cro}-W_{av}$

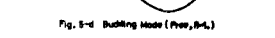


Fig. 5-d Buckling Mode (Free, β=1)

Fig. 5-d Buckling Mode (Free, β=1)

Fig. 5-d Buckling Mode (Free, β=0.5)

縦近傍を除いて両者は大略同じである。 $\beta=0.5$ とした。 $U_h=125$ で斜傾曲屈点と分歧曲屈点は近接し、 $U_h < 125$ ではシェル中央部分の斜傾曲屈($N=1$), $U_h > 125$ で分歧曲屈($N=2$)が先行する。

2 境界条件の影響について 単純支持と自由境界は $\beta=0.5$, $U_h < 160$ と限って両者の $\lambda_{cr}/\lambda_{cr0}$, 座屈様式, モードは座屈前に於ける変形と応力量に大きな違いがあるにも拘らずほぼ一致する。逆に単純支持との比較より, 面内内張方向の拘束が座屈荷重を著しく高めることが分かる。

3 不完全系の座屈解析 現実に建設される円筒網目シェル屋根は自重に風, 雪荷重が付加され, 一般に非斜傾荷重を受けること(荷重不整), (2)施工誤差により初期曲面は完全な円筒面ではない(曲面不整)等の不整を含む。一般にシェル構造は他の構造に比較して不整に対して毎感であるとされ, 二つでは先に述べた荷重, 初期曲面の不整をもつ不完全系の座屈挙動を母線縁辺が単純支持の場合について数値解析的に解明する。

a. 荷重不整 初期曲面不整は $\lambda_{cr} + L(C=0)$, 荷重の不整を表す $\lambda_{cr} - \lambda_{cr0}$ として $K = \frac{\lambda_{cr} - \lambda_{cr0}}{\lambda_{cr} + \lambda_{cr0}}$ を用い, $K=1, 0.95, 0.9, 0.5, 0$, $\beta=1, 0.5$, $U_h=100 \sim 300$ の範囲で計算を行った。結果は次の通り。

- (1) 座屈時変形の最大変位: W_{max} は $\beta=1$ で $\lambda_{cr}=0.5$ (中央内張), $y=0.3$ 近傍で生じ, $\beta=1$ では $U_h \approx 80$ で $K=1$, $\lambda_{cr} < 80$ にて W_{max} は $\lambda_{cr} < 80$, $\beta=0.5$ では逆の傾向を示す。(Fig. 6-a参照)
- (2) 座屈点の λ_{cr} と λ_{scr} とすると($\therefore K=1$ とした, $\lambda_{scr}=\lambda_{cr}$), $\lambda_{scr}/\lambda_{cr0}$ は K が小さくなるにつれて单調に減少する。完全系で分歧曲屈が先行するとき($\beta=1$, $U_h=100 \sim 200$ $\beta=0.5$, $U_h=100 \sim 300$), 僅かに荷重不整による $\lambda_{scr}/\lambda_{cr}$ は急激に減少し, $\beta=1$ では $U_h \approx 100$ から 200 , $\beta=0.5$ では 300 で $\lambda_{scr}/\lambda_{cr}$ は順に λ_{scr} 傾向が著しい。例えば $\beta=1$, $U_h=100$ でFig. 7-bの結果に加えて, $K=0.975$ と $\lambda_{scr}/\lambda_{cr}=0.940$, $K=0.925$ のとき 0.876 となるから, $0.9 \leq K \leq 1$ では $\lambda_{scr}/\lambda_{cr}-1=-0.6906 \times (1-K)^{2/3}$ (22) と $\lambda_{scr}/\lambda_{cr}$ は $two-thirds power law$ 式^式として成立する。

ここで $\lambda_{scr}/\lambda_{cr}$ を確めると。 $\beta=1$ 且つ $K=0.5$, 0.0 とすと, $\lambda_{scr}/\lambda_{cr0}$ はほぼ一定であり, $\beta=1$ の場合

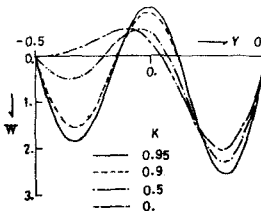


Fig. 6-a W_{cr} ($B=1$, $Uh=200$)

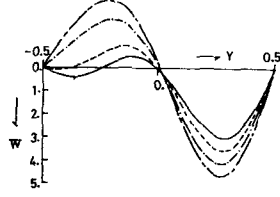


Fig. 6-b W_{cr} ($B=0.5$, $Uh=200$)

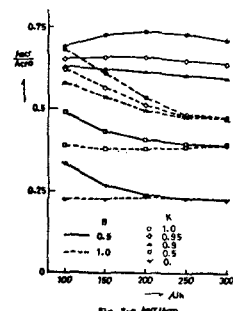


Fig. 7-a A_{cr}/A_{cr0}

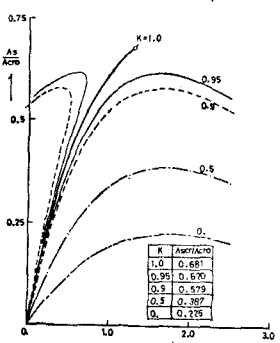


Fig. 7-b $A_{cr}/A_{cr0} - W$ ($B=1$, $Uh=100$)

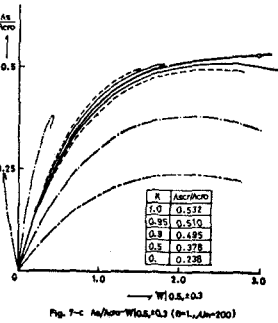


Fig. 7-c $A_{cr}/A_{cr0} - W$ ($B=0.5$, $Uh=200$)

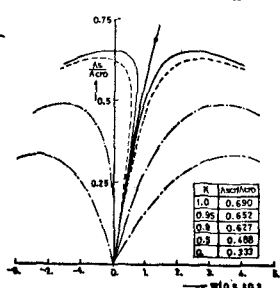


Fig. 7-d $A_{cr}/A_{cr0} - W$ ($B=0.5$, $Uh=100$)

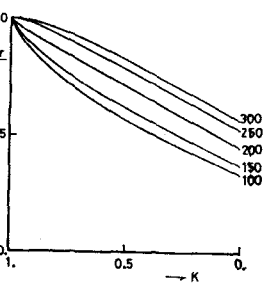


Fig. 7-e $A_{cr}/A_{cr0} - K$ ($B=1$)

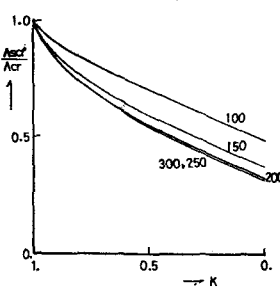


Fig. 7-f $A_{cr}/A_{cr0} - K$ ($B=0.5$)

長がある値以下で $\Lambda_{scr}/\Lambda_{cr}$ は μ_n に逆らす。K に応じて一定値をもつことが推測される。(Fig. 7 参照)

- (3) 完全系で分岐座屈が先行するとき、 $\Lambda_{scr}/\Lambda_{cr}$ は 1 より小さく、同一の長さに対する $\beta=1$ では μ_n が小さくなる。

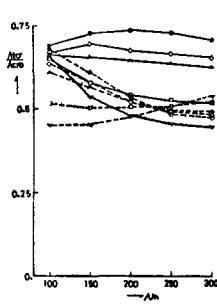


Fig. 8-a $\Lambda_{scr}/\Lambda_{cr}$

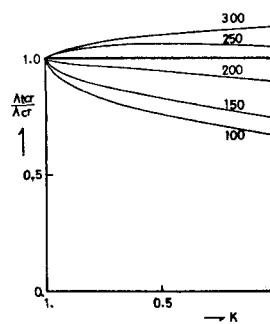


Fig. 8-b $\Lambda_{scr}/\Lambda_{cr}-K (\beta=1)$

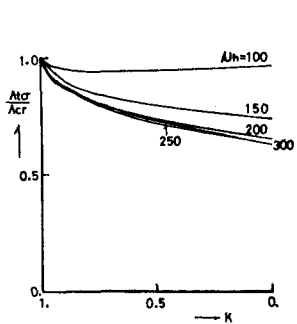


Fig. 8-c $\Lambda_{scr}/\Lambda_{cr}-K (\beta=0.5)$

3 に付いて、 $\beta=0.5$ では μ_n が大きくなるにつれて $\Lambda_{scr}/\Lambda_{cr}$ は減少する。これは、 Λ_{scr} は座屈点の $\mu_n + \lambda_{st} + \lambda_{ac}$ である。一方、完全系で対称座屈の場合 ($\beta=1$ 、 $\mu_n=225 \sim 300$) では $\Lambda_{scr}/\Lambda_{cr}$ は 1 より大きく、同一の K に対して μ_n が大きくなるにつれて $\Lambda_{scr}/\Lambda_{cr}$ は増大する。従って $\beta=1$ のとき完全系に於いて対称座屈と分岐座屈が並存している場合、 $\Lambda_{scr}/\Lambda_{cr}$ は長さに逆らす一定値をとることが分かること。 $\mu_n=225$ 前後で $\Lambda_{scr}/\Lambda_{cr}$ はほぼ 0.5 である。又、 $\beta=0.5$ の場合は $\mu_n=100$ よりやや小さくなるまで、 $\Lambda_{scr}/\Lambda_{cr}$ は一定となり、その値はほぼ 0.67 である。(Fig. 8 参照)

(4) $\beta=0.5$ については、 $\mu_n \leq 100$ のときも検討する為、 $\mu_n=50, 75$ について計算を行った。その結果より、 $\mu_n=50$ のとき対称座屈 ($N=1$)、 $\mu_n=75$ のとき分岐座屈 ($N=2$) が先行する事が分かる。 $\mu_n=50$ 、 $K=0$ のとき、 $W|x=0.5, y=0.25| = 3$ 前後で反曲点をもち極大点: 2 に達する。尚、極大点: 2 前後の変形状態を Fig. 9-a に示す。 $\mu_n=75$ 、 $K=0.95$ の場合、分岐座屈点 = 立てこぼれ $< N=2$ の逆対称変形が急増し、その変形の増加につれて荷重もややかに増加し、やがて極大点に達する。これらより $\mu_n=75$ のときは Stable な分岐座屈であることが推測される。極大点の荷重を Λ_{scr} として Fig. 9-c は $\mu_n=50 \sim 100$ の $\Lambda_{scr}/\Lambda_{cro}$ を示す。これより $50 \leq \mu_n \leq 75$ での $\Lambda_{scr}/\Lambda_{cro}$ は複雑な変化を呈しており、さらに詳細な検討が必要である。(Fig. 9)

b 初期曲面不整 本報告で用いたのは初

期曲面不整量の評価方法によれば、一様外圧下では初期曲面不整モードは対称であるから、完全系と同様、その座屈様式には対称座屈と分岐座屈がある。ここでは完全系で対称座屈が先行する場合のうち、 $\beta=1$ 、 $\mu_n=250, 300$ について

一様外圧 ($K=1$) のとき、 $c=-0.2 \sim 0.2 (@0.05)$ について計算を行った。

$\Lambda_{scr}/\Lambda_{cr}$ を縦軸に、 c を横軸にとり結果を Fig. 10-a に示す。横軸を c と代入に座屈変位の最大値 ($x=0.5, y=0.35$ 近傍で評価) とし得る山の初期曲面の最大片振幅: Z_{max} を表すと Fig. 10-b となる。これらより、

TABLE 2

C	$\beta=1$	$Ah=250$	$\beta=1$	$Ah=300$
-0.20	0.619	3.01	0.612	3.12
-0.15	0.579	2.86	0.571	2.95
-0.10	0.543	2.72	0.534	2.78
-0.05	0.512	2.56	0.503	2.64
0.00	0.483	—	0.475	—
0.05	0.459	2.42	0.449	2.39
0.10	0.436	2.37	0.426	2.29
0.15	0.416	2.33	0.406	2.19
0.20	0.398	2.30	0.387	2.10

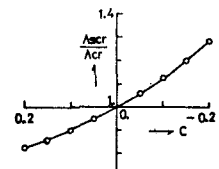


Fig. 10-a $\Lambda_{scr}/\Lambda_{cr}-c$

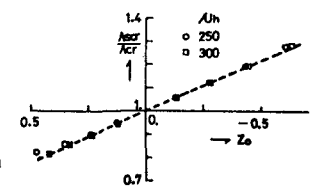


Fig. 10-b $\Lambda_{scr}/\Lambda_{cr}-Z_{max}$

$$\lambda_{\text{m}} = 250, 300 \text{ も} \approx \lambda_{\text{scr}}/\lambda_{\text{cr}} \text{ 式(22) を近似せよ。} \lambda_{\text{scr}}/\lambda_{\text{cr}} = -0.444 \cdot Z_{\text{max}} + 1 \quad (22)$$

§-5 総説 有限変形を考慮した曲線柔の連続体置換に基づく系の非線形基礎式を求め、寸法に垂れ線並単純支持、母線線並任意境界のもとで非線形基礎式の近似解法を示した。この近似解法を用いて非線形解析を行ひ、等方性円筒網目シェル屋根の完全系及不完全系に於ける全体座屈性状を、一様外圧を受ける開円筒の座屈値を導入し、数値解析的に解明した。

参考文献

- 1) Douglas T. Wright : MEMBRANE FORCES AND BUCKLING IN RETICULATED SHELLS, Proc. of ASCE, STI, February, 1965
- 2) Buchert, K.P. : Guide to stability Design Criteria For Metal Structures, pp. 514~523 「Shell and shell-Like Structures」 3rd. Ed. Edited By Bruce G. Johnston John Wiley & Sons, 1976
- 3) Norio Chiba 他 : RETICULATED CYLINDRICAL STEEL SHELL COMPOSED OF A SINGLE LAYER WITH WIDE-FILANGE SHAPES, Proc. IASS, 1971
- 4) M. OBAKI : A PRACTICAL METHOD FOR THE ANALYSIS OF SPACE FRAMEWORK PLATES AND SHELLS, Proc. IASS, 1971
- 5) 米国土木学会編 : 円筒シェルの設計, 橋尾他訳, 1954, 丸善
- 6) J.M.T. THOMPSON : DISCRETE BRANCHING POINTS IN THE GENERAL THEORY OF ELASTIC STABILITY, J. Mech. Phys. Solids, 1965, Vol. 13
- 7) Hangai, Y. and Kawamoto, B. : Analysis of Geometrically Nonlinear and Stability Problems by Static Perturbation Method, Report of the Industrial Science, The Univ. of Tokyo, Vol. 22, 1973
- 8) 松川, 寿田 : 任意母線線並境界を有する円筒網目シェル屋根の全体座屈解析, 日本建築学会関東支部研究報告集, V-248, 1978
- 9) 松川, 寿田 : 垂直口一, 母線線並任意境界を有する等方性円筒網目シェル屋根の全体座屈解析, 日本建築学会大会学術講演概要集, 1978, 9
- 10) 松川 : 任意母線線並境界をもつ部分円筒網目シェル屋根の座屈解析, 第28回応用力学連合講義会, 1978

SYNOPSIS

GENERAL BUCKLING OF CYLINDRICAL RETICULATED SHELL ROOFS

by TSUTOMU KOKAWA, Graduate Student of Tokyo
Metropolitan Univ. Member of A.I.J.

This paper contains the following matters.

- 1) Nonlinear basic equation of Cylindrical Reticulated Shell Roofs (C.R.S.R.) considering imperfections of the load and geometry is derived by planely continuous treatment of a curved beam having the elastically nonlinear stress-strain relation.
- 2) Under the boundary conditions that the two ends of the structure are simply supported and the two generator edges are arbitrary, approximate analytical method of the nonlinearity basic equation is shown.
- 3) Based upon this method, general buckling behaviours of C.R.S.R. in the case of isotropic are clarified numerically under various boundary conditions and shell geometry as well as imperfection, introducing the classical buckling pressure of the closed type.